

Spatial Graph Theory

Topological symmetry group of spatial graphs

§1.

この論文では有限グラフ G の空間表現 (空間グラフ) \tilde{G} の位相的対称群 (Topological symmetry group) $TSG(\tilde{G})$ について述べる.

定義. G を有限グラフとし $f: G \rightarrow \mathbb{R}^3$ ($\mathbb{R}^3 \neq \mathbb{S}^3$) を埋め込みとする. $\tilde{G} = f(G)$ を G の空間表現 (空間グラフ) とする. \tilde{G} の位相的対称群 $TSG(\tilde{G})$ は次のように定義する.

$$TSG_+(\tilde{G}) = \{ \tau \in \text{Aut}(G) \mid \mathbb{R}^3 \text{ の向きを保つ同相写像 } \phi \text{ があって } \phi \circ f = f \circ \tau \}$$

$$TSG_-(\tilde{G}) = \{ \tau \in \text{Aut}(G) \mid \mathbb{R}^3 \text{ の向きを逆にする同相写像 } \psi \text{ があって } \psi \circ f \circ \tau = f \}$$

$$TSG(\tilde{G}) = TSG_+(\tilde{G}) \cup TSG_-(\tilde{G})$$

$TSG(\tilde{G})$ は $\text{Aut}(G) \times \mathbb{Z}_2$ の部分群とみることにも出来る.

定理1 G の任意の空間表現 \tilde{G} に対し

$$(1) TSG_+(\tilde{G}) = TSG_-(\tilde{G}) \quad \text{が成り立つ}$$

$$(2) TSG_+(\tilde{G}) \cap TSG_-(\tilde{G}) = \phi \quad \text{が成り立つ}$$

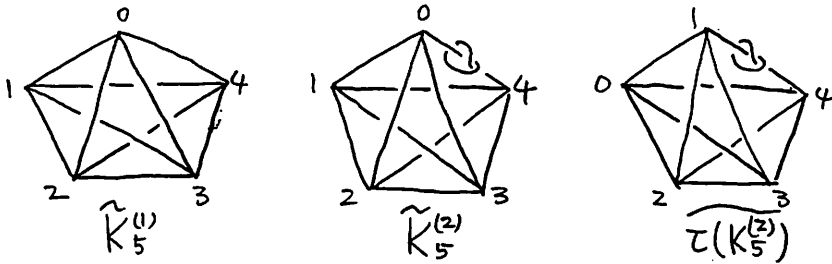
系. \tilde{G} が非平面的グラフ (非平面グラフではない) G の任意の空間表現なら $TSG_+(\tilde{G}) \cap TSG_-(\tilde{G}) = \phi$

定義. $f, g: G \rightarrow \mathbb{R}^3$ を G の2つの空間表現とし, $I = [0, 1]$ を単位区間とする. 次の2つの概念を導入する.

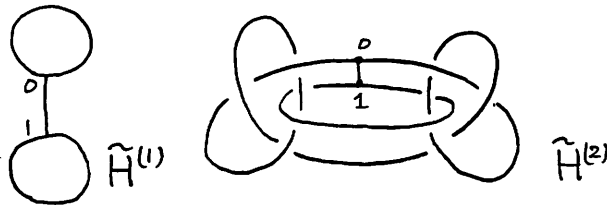
(1) f と g (\mathbb{R}^3 上 $f(G)$ と $g(G)$) が cobordant とは $\Phi(G, 0) = (f(G), 0)$, $\Phi(G, 1) = (g(G), 1)$ とする locally flat embedding $\Phi: G \times I \rightarrow \mathbb{R}^3 \times I$ があるときをいう.

(2) f と g が isotopic とは $\Phi(G, 0) = (f(G), 0)$, $\Phi(G, 1) = (g(G), 1)$ とする レベルを保つ埋め込み $\Phi: G \times I \rightarrow \mathbb{R}^3 \times I$ があるときをいう.

注. $TSG(\tilde{G})$ は定義より \mathbb{R}^3 の同相写像に依り得る不変量であるが、グラフの isotopy 及び cobordism に依り得る不変量ではない。例えは下図の 5 頂点完全グラフ K_5 の 2 つの空間表現 $\tilde{K}_5^{(1)}$, $\tilde{K}_5^{(2)}$ は isotopic ではないか $\tau = (01) \in TSG(\tilde{K}_5^{(2)})$ だから $TSG(\tilde{K}_5^{(2)}) \cong TSG(\tilde{K}_5^{(1)}) \cong \text{Aut}(K_5) = S_5$ である



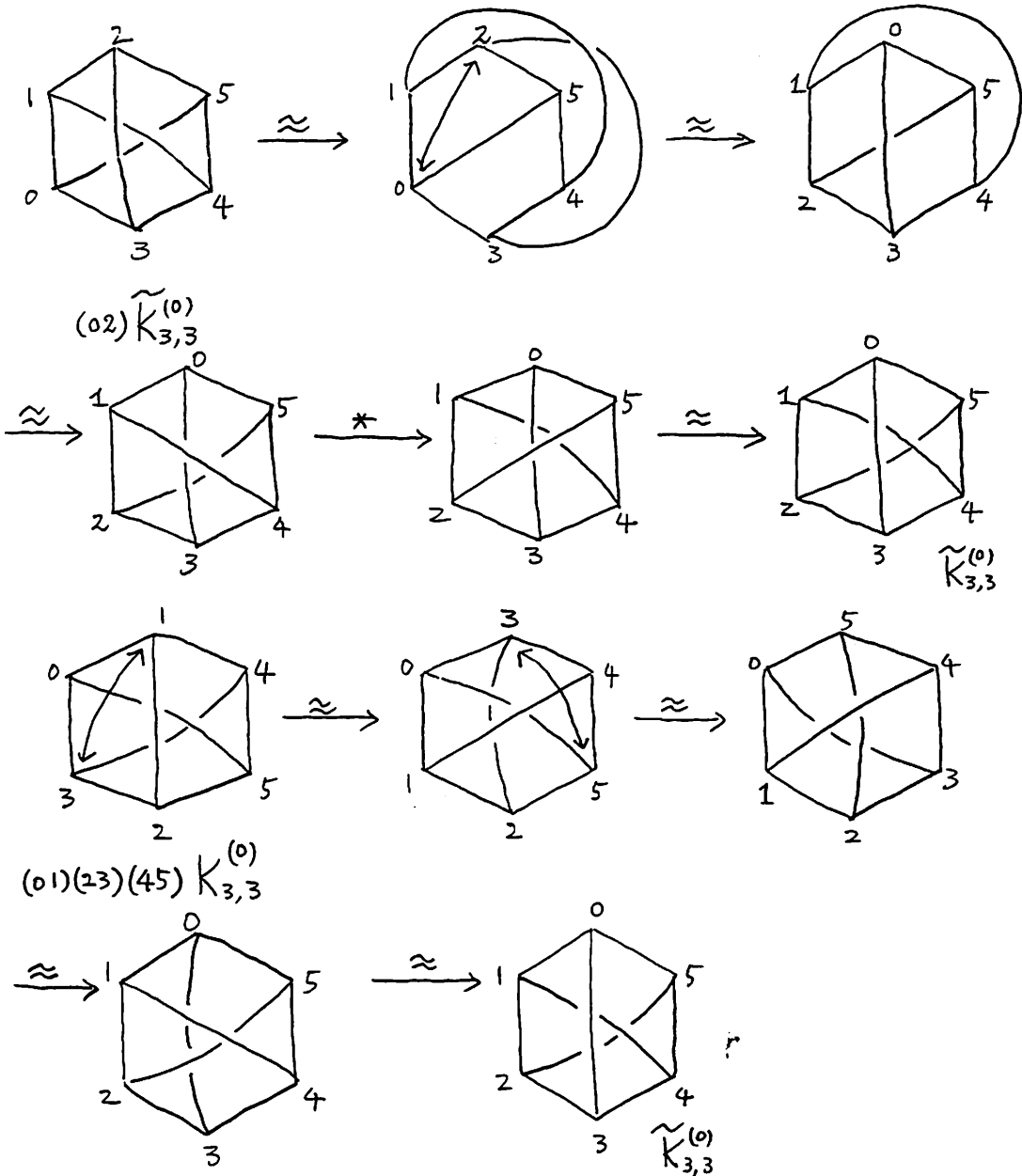
ここで S_5 は 5 次の対称群で $\{0, 1, 2, 3, 4\}$ の置換全体である。また下図の handcuff graph H の 2 つの空間表現 $\tilde{H}^{(1)}$, $\tilde{H}^{(2)}$ とすると $\tilde{H}^{(1)}$ と $\tilde{H}^{(2)}$ は cobordant であるか $TSG(\tilde{H}^{(1)}) \cong \mathbb{Z}_2 \times \mathbb{Z}_2$ だが $TSG(\tilde{H}^{(2)}) \cong \{1\} \times \{0\} \subset \text{Aut}(H) \times \mathbb{Z}_2$ である。



また下図のように 2 つの空間表現 $\tilde{K}_5^{(1)}$, $\tilde{K}_5^{(2)}$ は \mathbb{R}^3 の同相写像で互いに移らぬか 後に示すように $TSG(\tilde{K}_5^{(1)}) \cong TSG(\tilde{K}_5^{(2)}) \cong D_5$ (位数 10 の 2 面体群) とは $TSG(\tilde{G})$ が \mathbb{R}^3 の同相写像に依り得る完全不変量ではないことを示している

定理 2. $G = K_5$ 又は $K_{3,3}$ とし \tilde{G}_0 を G の標準空間表現 (standard spatial presentation) とすると $TSG(\tilde{G}_0) \cong \text{Aut}(G)$.

証明. $G = K_5$ の時は ([Y. Thm. 4.2]) に証明されている。 $G = K_{3,3}$ のときは $\text{Aut}(K_{3,3}) = \langle (02), (04), (13), (15), (01)(23)(45) \rangle \subset S_6$ (= $\{0, 1, 2, 3, 4, 5\}$ の置換全体) 生成元 (02) と $(01)(23)(45)$ は次の図 (a), (b) により $TSG(\tilde{K}_{3,3}^{(0)})$ に含まれる



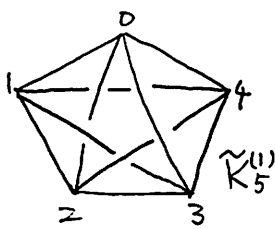
生成元 $(04), (13)$ が $TSG(\tilde{K}_{3,3}^{(0)})$ に含まれることは (02) と同じ方法で示される $\therefore TSG(\tilde{K}_{3,3}^{(0)}) \cong \text{Aut}(K_{3,3})$

定理3. $G = K_5$ 又は $K_{3,3}$ に対し 次をみたす G の空間表現 \tilde{G} がある.

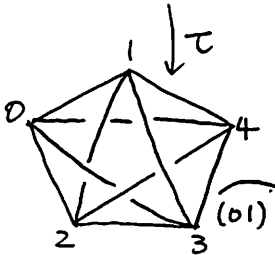
(1) $TSG(\tilde{G}) \cong TSG(\tilde{G}^{(0)})$ $\implies \tilde{G}^{(0)}$ は G の標準空間表現である. かつ

(2) \tilde{G} は locally unknotted 従って $\pi_1(S^3 - \tilde{G})$ は自由群.

証明) $G = K_5$ のとき $\tilde{K}_5^{(1)}$ を下図のような K_5 の空間表現とする.



$\tilde{K}_5^{(1)}$ は left-handed trefoil であるような空間曲線 $[02413]$ を含む. $\tau = (01)$ を頂点の互換とすると $\tau(K_5)^{(1)}$ は次の図になり空間曲線 $[02413]$

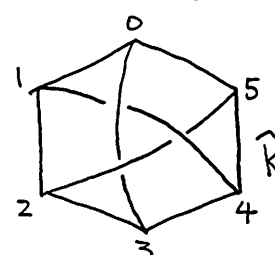


は trivial knot である 従って $\tilde{K}_5^{(1)}$ を $\tau(K_5)^{(1)}$ に移す \mathbb{S}^3 の同相写像は無い. $\therefore \tau \notin \text{TSG}(\tilde{K}_5^{(1)})$

定理2から $\tau \in \text{TSG}(\tilde{K}_5^{(0)}) \cong \text{Aut}(K_5) \cong S_5$

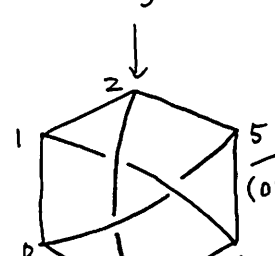
だから $\text{TSG}(\tilde{K}_5^{(1)}) \subsetneq \text{TSG}(\tilde{K}_5^{(0)})$.

$G = K_{3,3}$ のとき. $\tilde{K}_{3,3}^{(1)}$ を下図のように



すると $\tilde{K}_{3,3}^{(1)}$ は left-handed trefoil knot であるような空間曲線 $[034125]$ を含む.

$\tau = (02)$ を頂点の互換とすると $\tau(K_{3,3})^{(1)}$ はその次の図となり. $\tau(K_{3,3})^{(1)}$ 上の空間曲線



$[034125]$ は trivial knot である. 従って

$\tau \notin \text{TSG}(\tilde{K}_{3,3}^{(1)})$ であり, 定理2から

$\tau \in \text{TSG}(\tilde{K}_{3,3}^{(0)}) \cong \text{Aut}(K_{3,3})$ である.

故に $\text{TSG}(\tilde{K}_{3,3}^{(1)}) \subsetneq \text{TSG}(\tilde{K}_{3,3}^{(0)})$.

(2) については明らかである.

定理4. (T. Motohashi). 完全グラフ K_n の任意の空間表現 \tilde{K}_n に対し $n \geq 6$ の時 $\text{TSG}(\tilde{K}_n) \subsetneq \text{Aut}(K_n)$ である

証明. 先ず $n=6$ の場合に証明する K_6 上には互換らばい長さ3のサイクルの文が10組ある. Conway-Gordon の定理から $[C-G]$. その10組の内絡み数 (linking number) が奇数のものが奇数組あり, 絡み数が偶数のものが奇数組あり. \therefore もし $\text{TSG}(\tilde{K}_6) \cong \text{Aut}(K_6)$ なら $\gamma_i (i=1, 2)$ を10組のサイクルの文のうちのもので $lk(\tilde{\gamma}_1) = \text{奇数}, lk(\tilde{\gamma}_2) = \text{偶数}$ とするものに対して $\tau(\gamma_1) = \gamma_2$ とする元 $\tau \in \text{Aut}(K_6) \cong S_6$ がある. しかし明らかに $\tau \notin \text{TSG}(\tilde{K}_6)$ であるから $\text{TSG}(\tilde{K}_6) \subsetneq \text{Aut}(K_6)$ である. $n \geq 7$ のとき K_n の任意の空間表現 \tilde{K}_n は \tilde{K}_6 を空間部分グラフ

として含む 従って \tilde{K}_n は 2つの長さ3のサイクルから成る2成分
 リンクで 総み数が奇数のもの, $\tilde{\gamma}_1$, と 総み数が偶数となる
 もの, $\tilde{\gamma}_2$, を含む $\tau(\tilde{\gamma}_1) = \tilde{\gamma}_2$ とする元 $\tau \in \text{Aut}(K_n) \cong S_n$ の元
 を取ると $n=6$ の場合と同様に $\tau \in \text{TSG}(\tilde{K}_n)$ である.
 $\therefore \text{TSG}(\tilde{K}_n) \subseteq \text{Aut}(K_n)$.

定理5. $f: G \rightarrow \mathbb{R}^3$ をグラフ G の空間表現とし, $\tilde{G} = f(G)$
 とする もし G の交わりないサイクル達の2つの集合 $\{C_1, C_2, \dots, C_p\}$
 と $\{C'_1, C'_2, \dots, C'_p\}$ と $\tau \in \text{Aut}(G)$ で
 (1) $\tau(C_1 \cup \dots \cup C_p) = C'_1 \cup \dots \cup C'_p$ かつ
 (2) $f(C_1 \cup C_2 \cup \dots \cup C_p)$ と $f(C'_1 \cup \dots \cup C'_p)$ は異なる link types
 をもつ (即ち $h \circ f(C_1 \cup \dots \cup C_p) = f(C'_1 \cup \dots \cup C'_p)$ とするような
 同相写像 $h: \mathbb{R}^3 \rightarrow \mathbb{R}^3$ が存在しない) 従って $\tau \in \text{TSG}(\tilde{G})$ とある
 証明 $\tau \in \text{TSG}(\tilde{G})$ 従ってアンビエント・イソトピー $h_t: \mathbb{R}^3 \rightarrow \mathbb{R}^3$
 で $h_0 \circ f(C_1 \cup \dots \cup C_p) = f(C'_1 \cup \dots \cup C'_p)$ 又は $*h_0 \circ f(C_1 \cup \dots \cup C_p) =$
 $f(C'_1 \cup \dots \cup C'_p)$ とするものがある (*は \mathbb{R}^3 の折り返し) 従って
 $f(C_1 \cup \dots \cup C_p)$ と $f(C'_1 \cup \dots \cup C'_p)$ は同じ総み目型をもつ. これは
 仮定に矛盾 $\therefore \tau \in \text{TSG}(\tilde{G})$.

§2. Semi-linear circular presentation と $\text{TSG}(\tilde{G})$.

この節では G の空間表現 \tilde{G} の位相的対称群 $\text{TSG}(\tilde{G})$ に
 ついて述べますが 任意の空間表現 \tilde{G} を相手としたのでは
 $\text{TSG}(\tilde{G})$ は難かしくてわかりません. そこで $([K])$ で定義した
 本表現 (Book presentation) より少し広い空間表現を考へ,
 その範疇中で $\text{TSG}(\tilde{G})$ を考えることにします. それを準線形
 円周表現 (Semi-linear circular presentation) と呼ばれる
 ものです.

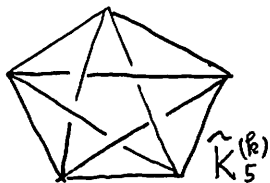
定義 $\mathbb{R}^3 = \{(x, y, z) \mid x, y, z \in \mathbb{R}\}$ を3次元ユークリッド空間
 とし, $\mathbb{R}^2 = \{(x, y, 0) \mid x, y \in \mathbb{R}\}$ をその2次元部分空間とする.
 $p: \mathbb{R}^3 \rightarrow \mathbb{R}^2$ と $p(x, y, z) = (x, y, 0)$ で定義される射影とする
 $D^2 = \{(x, y, 0) \in \mathbb{R}^2 \mid x^2 + y^2 \leq 1\}$ を \mathbb{R}^2 内の半径1の円板

とし, $S^1 = \partial D^2 = \{(x, y, 0) \in \mathbb{R}^2 \mid x^2 + y^2 = 1\}$ を円周とする
 有限グラフ G に対し, $\eta: G \rightarrow \mathbb{R}^3$ を (1) $\eta(V(G)) \subset S^1$ か
 (2) G の各辺 e に対し, $p \circ \eta(e)$ が D^2 内の線分とほっている,
 という条件を満足する G の空間表現とする. このとき $\{p \circ \eta(e)\}_e$
 の全ての多重集は $\eta(v_i)$ ($v_i \in V(G)$) を適当に取ることにより
 2重集のみと仮定する. このとき $\eta(G)$ を semi-linear diagram
 といひ, さらに ambient isotopic な G の空間表現 \tilde{G} を準線
 形円周表現 (semi-linear circular presentation) といふ.
 $SLCP(G) = \{\tilde{G} \mid \tilde{G} \text{ は } G \text{ の準線形円周表現}\} / \approx$ とおきます
 (\approx は アンビエント・イソトピーによる同値関係). また準ハミル
 トングラフ (pseudo H-graph) G に対し
 $E(B_p(G)) = \{\tilde{G} \mid \tilde{G} \approx \psi(G), \psi: G \rightarrow B_p \text{ は } p\text{-シートをもつ本への表現}\} / \approx$
 とします.

注. 空間表現 \tilde{G} が $SLCP(G)$ に含まれらば $\pi(S^3 - \tilde{G})$ は
 階数が $H_1(G; \mathbb{Z})$ の階数に等しい自由群である.

命題1. 準H-グラフ G に対し $\cup E(B_p(G)) \subset SLCP(G)$ であり
 特に $n \geq 5$ に対し $\cup E(B_p(K_n)) \subsetneq SLCP(K_n)$ である. ここで
 K_n は n 頂集完全グラフ.

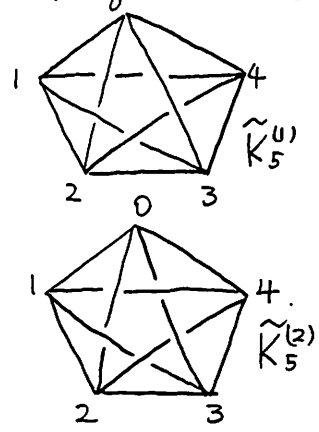
証明. 本表現 B.P.H. Δ を (CI) の蕾表現 (bud presentation)
 とみなすことにする. ここで蕾を上から下へみると G の準線形
 円周表現とほっている. 従って前半が証明出来た. $K_5^{(R)}$ を下図
 で与えられる5頂集完全グラフの空間表現とすると [K, Pro.10]



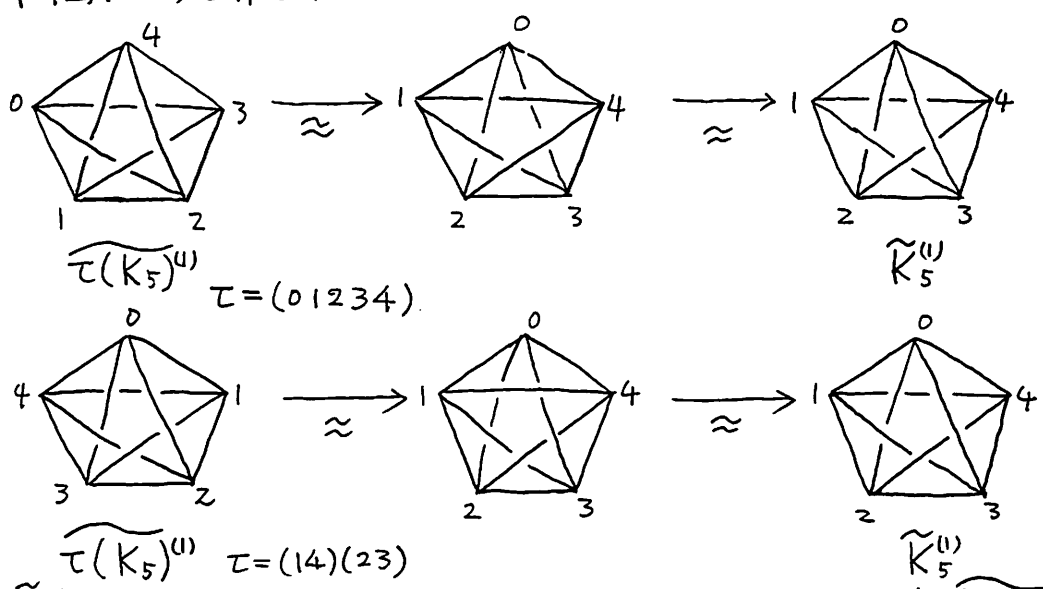
により $K_5^{(R)}$ は $SLCP(K_5)$ には含まれるが
 $\cup E(B_p(K_5))$ には含まれないことがわかる.
 P 次は $K_5^{(R)}$ を空間部分グラフとして含んでいる
 $SLCP(K_n)$ の元 \tilde{K}_n を取ると $\tilde{K}_n \notin \cup E(B_p(K_n))$
 である. 何故なら もし $\tilde{K}_n \in \cup E(B_p(K_n))$ なら $K_5^{(R)}$ だけ残る
 ように \tilde{K}_n から頂集と辺を除くと $K_5^{(R)}$ が本表現されしてしまう
 ことになり矛盾だからである. 故に後半も証明された.

命題2. 下図のような K_5 の2つの空間表現 $\tilde{K}_5^{(1)}, \tilde{K}_5^{(2)}$ に対し $TSG(\tilde{K}_5^{(1)}) \cong TSG(\tilde{K}_5^{(2)}) \cong D_5$ (位数10の2面体群) である.

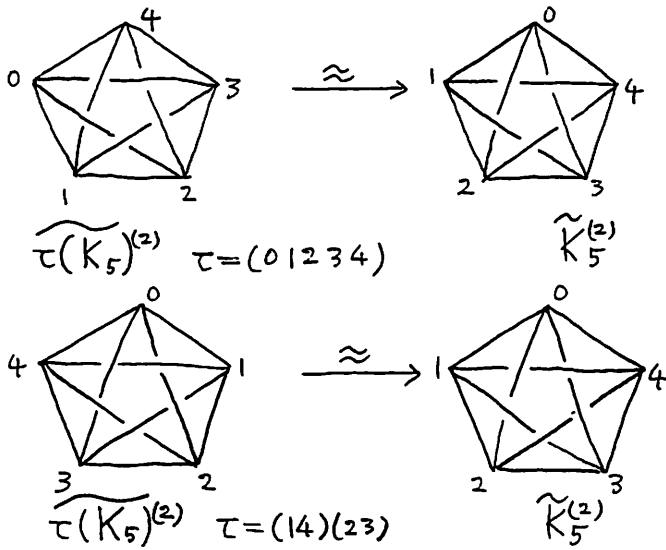
証明. $\tilde{K}_5^{(1)}$ は自明でない詰む目又は絡み目として left-handed trefoil knot $[02413]$ のみを含む. これは $\tilde{K}_5^{(1)}$ 上の長さ5のサイクルである. したがって $\tau \in TSG(\tilde{K}_5^{(1)})$ なら $\tau f = f \tau$ であり集合として $\tau([02413])$ である. したがって $f: K_5 \rightarrow \mathbb{R}^3$ は $f(K_5) = \tilde{K}_5^{(1)}$ となる埋め込みであり, τ は \mathbb{R}^3 の同相写像. したがって $TSG(\tilde{K}_5^{(1)})$ は位数10の2面体群 D_5 に含まれ, D_5 は長さ5の cycle $[02413]$ の自己同形群になっている.



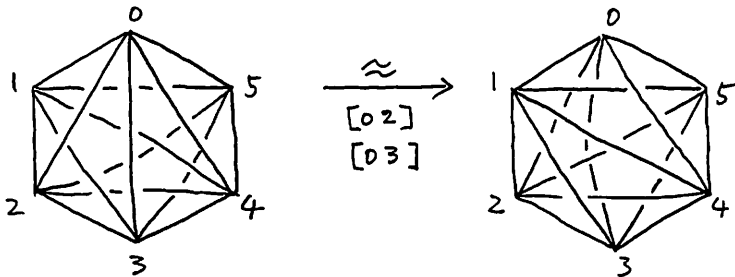
D_5 は $\{0, 1, 2, 3, 4\}$ の置換群の部分群として $\{(01234), (14)(23)\}$ で生成されている. したがって τ は D_5 の各生成元が $TSG(\tilde{K}_5^{(1)})$ に含まれることを示せばよい. これは下図によって示される.



$\tilde{K}_5^{(2)}$ は自明でない詰む目又は絡み目として 5_2 -knot $[02413]$ のみを含み, $\tilde{K}_5^{(1)}$ のときと同じ理由によって $TSG(\tilde{K}_5^{(2)}) \subset D_5$ である. したがって生成元 (01234) と $(14)(23)$ が $TSG(\tilde{K}_5^{(2)})$ に含まれることは次の図によって示される.



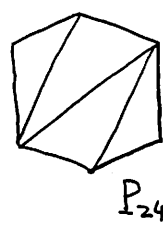
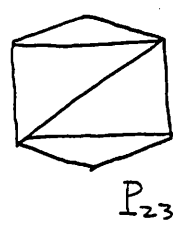
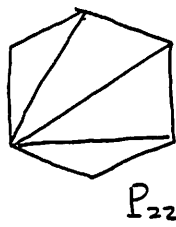
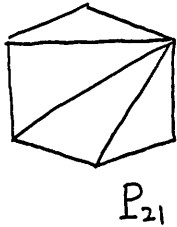
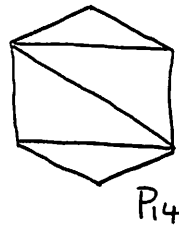
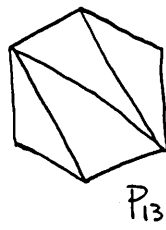
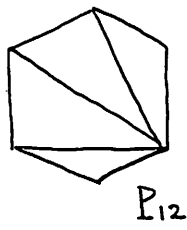
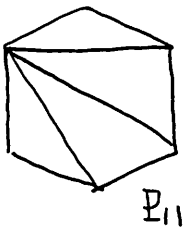
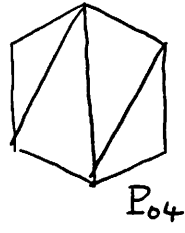
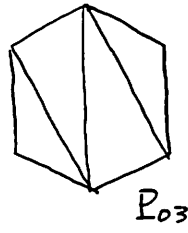
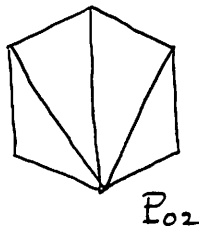
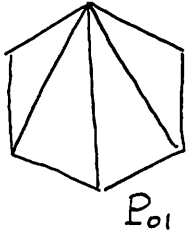
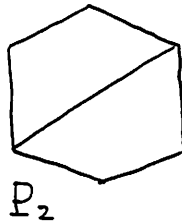
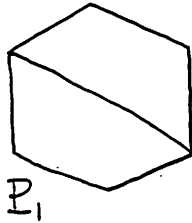
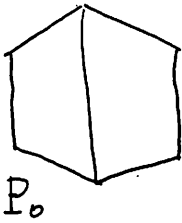
注 下図の K_6 の空間表現 $\widetilde{K}_6^{(0)}$ は一見4シートをもつ B.P.H. Δ にアンビエント・イソトピックのように見えるがアンビエント・イソトピーで3シートをもつ B.P.H. Δ に移せる 従って $\widetilde{K}_6^{(0)}$ は K_6 の標準空間表現である.



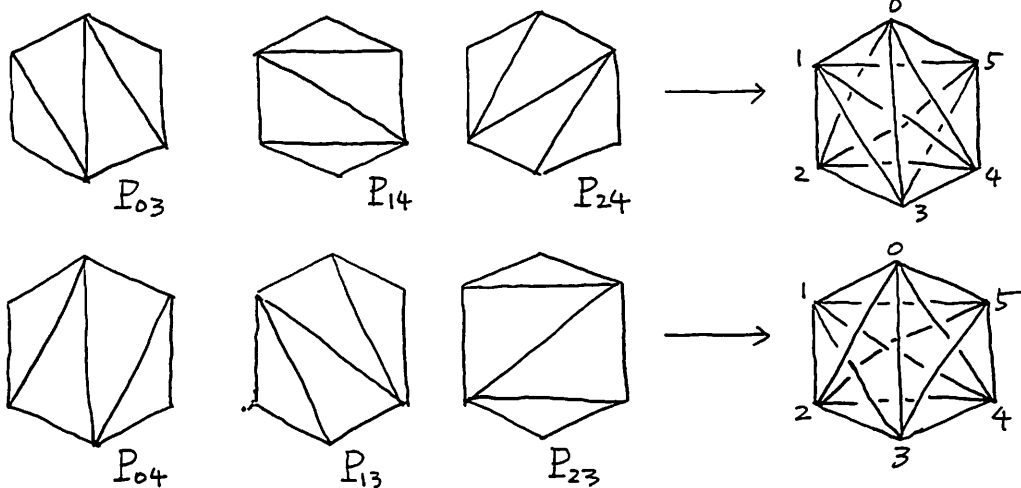
定理6. K_6 の任意の標準空間表現は頂点のラベルを保つ同相写像で互いに移り得る. また頂点のラベルを保つとは限らないアンビエント・イソトピーで互いに移り得る.

証明. まず準線形内周表現で K_6 の標準空間表現の可能なものの全てを挙げることにする. K_6 の標準表現は3シートをもつから3つの花弁 P_0, P_1, P_2 を用意し, 2つの“長さ”3の辺は1つの花弁には含まれないから“長さ”3の3つの辺を P_0, P_1, P_2 の各々に1つずつ分配する. 残る辺は6本である. P_0, P_1, P_2 において距離が2の2つの頂点を結ぶ. それは各 $P_i (i=0, 1, 2)$ で4通りある. 各集合 $\{P_{0j}\}, \{P_{1j}\}, \{P_{2j}\}$ から共通の辺を

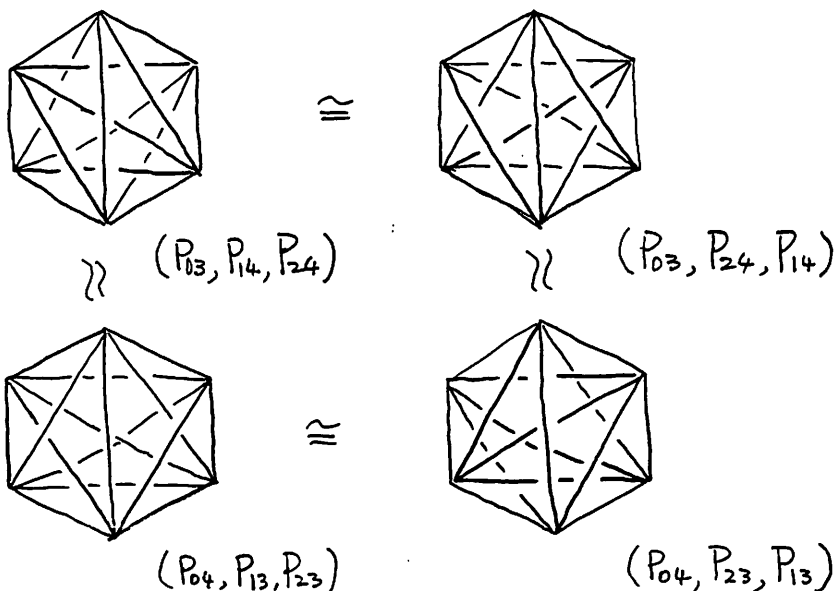
持たないようにして1つの図を取り出さねばならない。そこでもし P_{01} を取り出すなら P_{11} 又は P_{14} を取り出さねばならない。しかしどちらにしても集合 $\{P_{2j}\}$ から共通辺を持たないようには取り出せない。従って $\{P_{0j}\}$ から最初に P_{01} を取り出せないことがわかる。



同様にして $\{P_{0j}\}$ から P_{02} を取り出せないことがわかる。このようにして3つの図の可能な組み合わせは $[P_{03}, P_{14}, P_{24}]$ 又は $[P_{04}, P_{13}, P_{23}]$ のみであることがわかる。3シートを一本の任意のシート変換はバインダーを固定する \mathbb{R}^3 の同相写像に拡張出来るので順序3元 (P_{03}, P_{14}, P_{24}) と (P_{03}, P_{24}, P_{14}) は頂点のラベルを保持して同相である。 (P_{03}, P_{14}, P_{24}) において辺 (02), (35) をこちら側に移すと (P_{04}, P_{13}, P_{23}) になる。従って

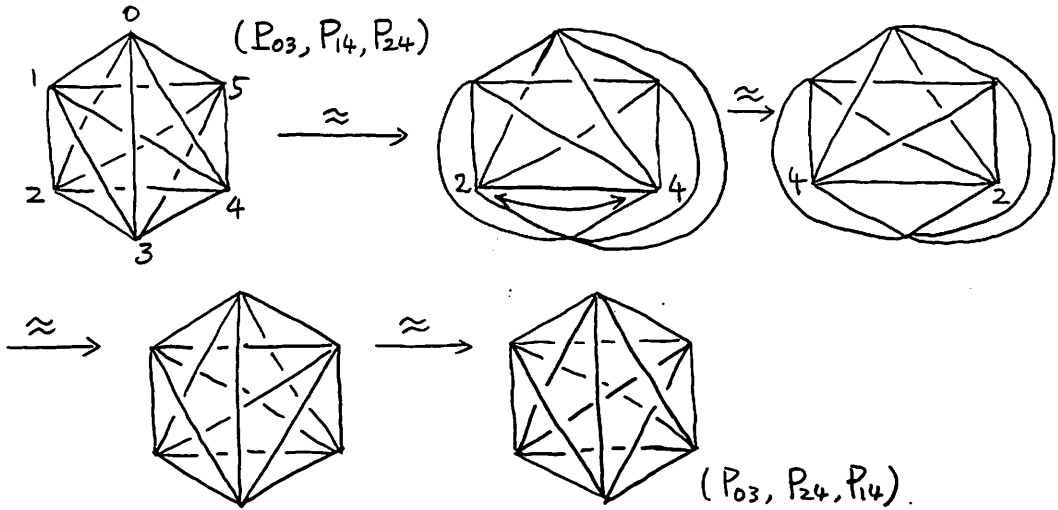


(P_{03}, P_{14}, P_{24}) はラベルを保存して (P_{04}, P_{13}, P_{23}) にアンビエント・イソトピックである。以上より K_6 の標準空間表現のラベルを保存する同相類は一つである。また (P_{03}, P_{24}, P_{14}) において辺 $(13), (04)$ を向う側に移すと (P_{04}, P_{23}, P_{13}) になる。従ってこれはラベルを保存するアンビエント・イソトピーで移り得る。

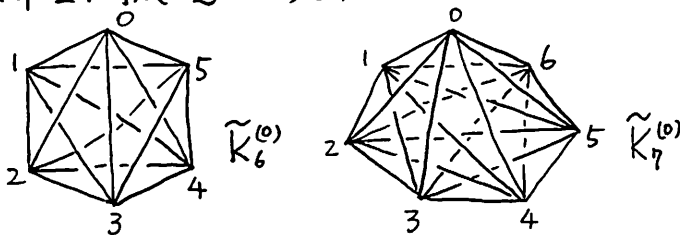


更に次の図において (P_{03}, P_{14}, P_{24}) は頂点のラベルを保存しないアンビエント・イソトピーによって (P_{03}, P_{24}, P_{14}) に移る(頂点のラベルを保存するアンビエント・イソトピーで移り得ないことは谷山不変量によって示される) 従って K_6 の標準空間表現は頂点の

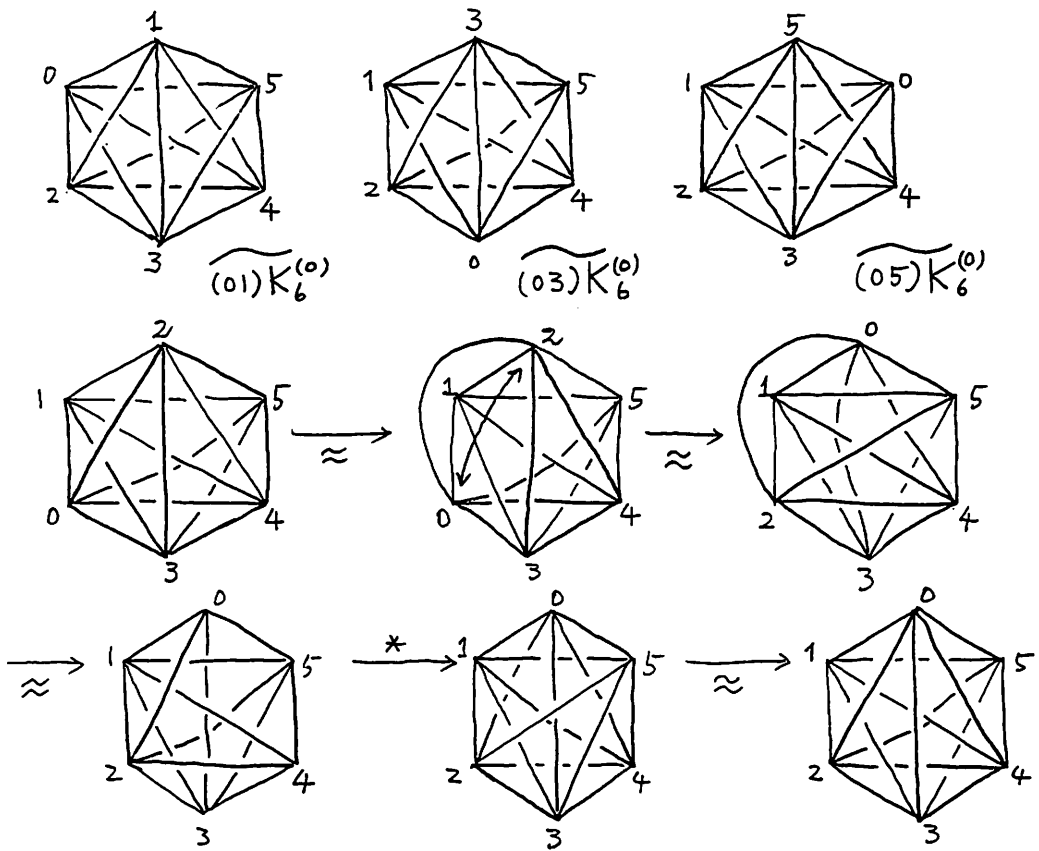
ラベルを保存するとは限らないアムビエント・イソトピーで互いに移り得る



命題3 $Aut(K_6) \cong S_6 = \langle (01), (02), (03), (04), (05) \rangle$ とする
 すると $(01), (03), (05) \in TSG(\tilde{K}_6^{(0)})$ か $(02), (04), (13), (15),$
 $(01)(23)(45) \in TSG(\tilde{K}_6^{(0)})$ である 二つ $\tilde{K}_6^{(0)}$ は下図のよう
 K_6 の一つの標準空間表現とする. として $Aut(K_7) \cong S_7 = \langle (01),$
 $(02), \dots, (06) \rangle$ とすると $(0i) \in TSG(\tilde{K}_7^{(0)})$ ($1 \leq i \leq 6$) であり,
 $(0123456) \in TSG(\tilde{K}_7^{(0)})$ ただし $\tilde{K}_7^{(0)}$ は下図のよう K_7 の一つの
 標準空間表現である.



証明 $\tilde{K}_6^{(0)}$ 上の 2つの交わらないサイクル $\tilde{C}_1 = [024]$ と $\tilde{C}_2 = [135]$
 は Hopf link を表わしている. しかし $(01)K_6^{(0)}, (03)K_6^{(0)}$ か
 $(05)K_6^{(0)}$ 上ではこれらのサイクルは自明な絡み目を表して
 いる 従って $(01), (03), (05) \in TSG(\tilde{K}_6^{(0)})$ である 更に次の図に
 よって $(02) \in TSG(\tilde{K}_6^{(0)})$. 同様の方法によつて $(04), (13), (15)$
 $(01)(23)(45) \in TSG(\tilde{K}_6^{(0)})$ が示される.



$TSG(\tilde{K}_7^{(0)})$ に対して空間サイクル $k = [024135]$ は $\tilde{K}_7^{(0)}$ 上の
 唯一の自明でない詰む目である 従って $TSG(\tilde{K}_7^{(0)})$ から
 集合として $\tau([024135]) = k$ となければならぬ. しかして
 $(0i), (1 \leq i \leq 6)$, に対して $\tau([024135]) = [i2 \dots 0 \dots 5]$ とな
 り, その像 $\tau([024135])$ は自明な詰む目である. よって $\tau =$
 $(0i) \in TSG(\tilde{K}_7^{(0)})$. 次に $(0123456) \in TSG(\tilde{K}_7^{(0)})$ であること
 を示す $\tilde{K}_7^{(0)}$ の図は先ず頂点 $i (i=1, 2, \dots, 6)$ と頂点 0 を詰
 む, 次に頂点 $i (i=2, 3, \dots, 6)$ と頂点 1 とを詰む 以下同
 様にする 一方 $(0123456)K_7^{(0)}$ の図は先ず頂点 $i (i=0, 1, \dots, 5)$
 と頂点 6 とを詰む, 次に頂点 $i (i=1, 2, \dots, 5)$ と頂点 0 とを
 詰む, 以下同様にする ところで $(0123456)K_7^{(0)}$ の図で頂点
 6 と詰んでいる全ての辺を向う側に移すと $\tilde{K}_7^{(0)}$ の図になる
 よって $(0123456) \in TSG(\tilde{K}_7^{(0)})$.

定義 X, Y を各々 m, n 個の元から成る集合とし, S_m, S_n

を各々 X, Y に作用する m 次, n 次対称群とする このとき S_m と S_n の結合 $S_m[S_n]$ は $X \times Y$ に次のように作用する. 各 $a \in S_m$ と各列 $b_1, \dots, b_m \in S_n$ に対し $S_m[S_n]$ の元 $(a; b_1, \dots, b_m)$ が存在して $(a; b_1, \dots, b_m)(x_i, y_j) = (ax_i, b_i y_j)$ と定義する. 群 $S_m[S_n]$ の位数は $m!(n!)^m$ である.

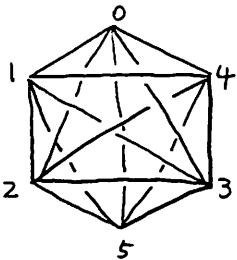
定理7 $\tilde{K}_6^{(0)}$ を完全グラフ K_6 の標準空間表現とすると $TSG(\tilde{K}_6^{(0)}) \cong S_2[S_3]$.

証明 先ず $S_2[S_3]$ は $\{0, 1, 2, 3, 4, 5\}$ の置換群の部分群として生成元の集合 $\{(02), (04), (13), (15), (01)(23)(45)\}$ をもつ. $\tilde{K}_6^{(0)}$ は自明でない詰む目又は絡み目として唯一つの Hopf link $[\widetilde{024}] \cup [\widetilde{135}] := \tilde{\gamma}_1 \cup \tilde{\gamma}_2$ をもつ. $TSG(\tilde{K}_6^{(0)})$ の全ての元は Hopf link $\tilde{\gamma}_1 \cup \tilde{\gamma}_2$ を集合として保存するから $TSG(\tilde{K}_6^{(0)}) \subset \text{Aut}(\tilde{\gamma}_1 \cup \tilde{\gamma}_2) \cong S_2[S_3]$. ところで次に $S_2[S_3]$ の全ての元が $TSG(\tilde{K}_6^{(0)})$ に含まれることを示すのだが命題3 によって $S_2[S_3]$ の全ての生成元に対しそのことが示されている. $\therefore TSG(\tilde{K}_6^{(0)}) \cong S_2[S_3]$.

系. K_6 の全ての標準空間表現 $\tilde{K}_6^{(0)}$ に対し $TSG(\tilde{K}_6^{(0)}) \cong S_2[S_3]$ である.

証. 定理6 によって K_6 の全ての標準空間表現は \mathbb{R}^3 の同相写像によって移り得る. TSG は \mathbb{R}^3 の同相写像に1対1する不変量だから結果が得られたことになる.

例. \tilde{K}_6 を下図のような K_6 の空間表現とする. すると $TSG(\tilde{K}_6) \cong \mathbb{Z}_2$ である. \tilde{K}_5 を頂点 $\{0, 1, 2, 3, 4\}$ をもつ \tilde{K}_6 の空間部分グラフとする.



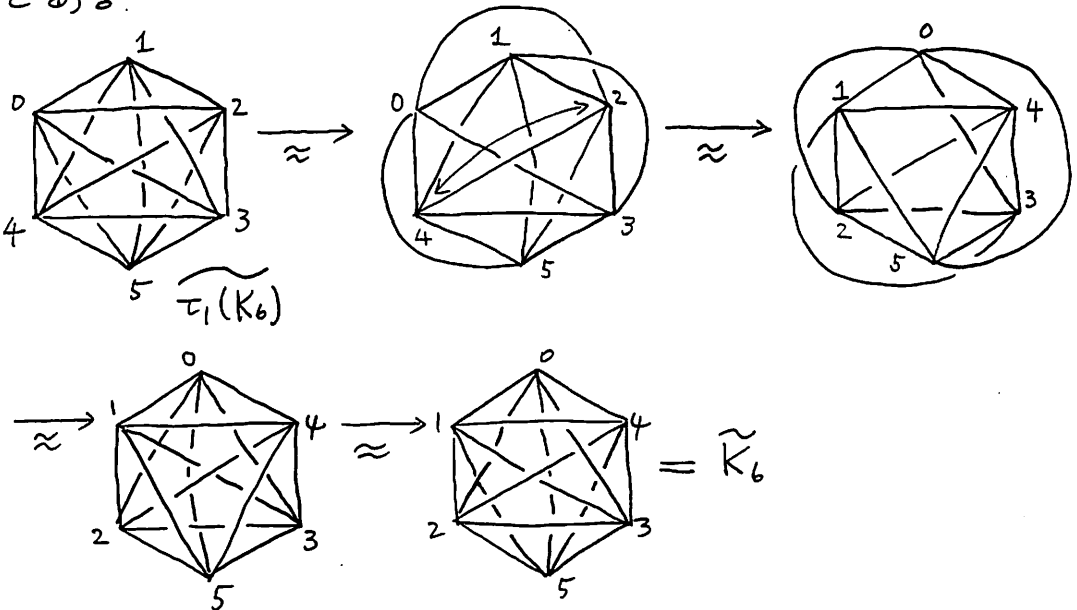
すると \tilde{K}_5 は左手系 trefoil knot を含み, \tilde{K}_6 は自明でない詰む目 $\tilde{\gamma}$ として $\tilde{\gamma}$ のみを持ち, 自明でない絡み目として次の3祖の Hopf link を含む.

- (1) サイクル $[013] \cup [245] := H_1$ の像
- (2) サイクル $[024] \cup [135] := H_2$ の像

(3) サイクル $[124] \cup [035] := H_3$ の像

D_5 を位数 10 の 2 面体群とする K_6 は \tilde{K}_6 の唯一つの自明でない 3 頂目だから $\tau \in \text{TSG}(\tilde{K}_6)$ なら $\phi \circ \tau([02413]) = \tau \circ \phi([02413])$ である. $\tau := \tau$ $f: K_6 \rightarrow \mathbb{R}^3$ は $\tilde{K}_6 = f(K_6)$ とする埋め込みであり, ϕ は \mathbb{R}^3 の同相写像. 従って $\text{TSG}(\tilde{K}_6) \subset D_5 \subset \text{Aut}(K_6) \cong S_6$.

$\tau := \tau$ D_5 は長さ 5 のサイクル $[01234]$ の自己同形群になっていて $L = H_1 \cup H_2 \cup H_3$ を K_6 の部分グラフとする $K_6 - L = \{[23], [34]\}$ (2 辺). $\tau := \tau$ $\tau \in \text{TSG}(\tilde{K}_6)$ なら $\tau \circ \phi(H_1 \cup H_2 \cup H_3) = \phi \circ \tau(H_1 \cup H_2 \cup H_3)$ 従って $\tau \circ \phi(K_6 - L) = \phi \circ \tau(K_6 - L)$. τ のことより頂点の順序 3 は $(2, 3, 4)$ に対して $\tau_i \in \text{TSG}(\tilde{K}_6)$ ($i = 0, 1$) で τ_i が $\{0, 1, 2, 3, 4, 5\}$ の置換群の部分群として $\{(01234), (14)(23)\}$ で生成される D_5 の元でもあるなら $\tau_0((2, 3, 4)) = (2, 3, 4)$ 又は $\tau_1((2, 3, 4)) = (4, 3, 2)$ である. D_5 の元として $\tau_0 = \text{id}$ であり $\tau_1 = (01234)^2 (14)(23) (01234)^{-2} = (01)(24)$ である. τ のとき $\tau_1(H_1) = [103] \cup [425] = H_1$, $\tau_1(H_2) = [142] \cup [035] = H_3$, $\tau_1(H_3) = [042] \cup [135] = H_2$ (集合として). τ は $\tau_1(K_6)$ は次の図によって \tilde{K}_6 はアービント・イソトピックであり, $\tau_1 \in \text{TSG}(\tilde{K}_6)$ とする. $\text{TSG}(\tilde{K}_6)$ は $\tau_0 = \text{id}$ と τ_1 の 2 つの元のみを含み, $\tau_1^2 = \text{id}$. 従って $\text{TSG}(\tilde{K}_6) \cong \mathbb{Z}_2$ である.



参考文献

- [C-G] Conway, J.H. & Gordon, C.McA. : Knots and links in spatial graphs, *J. Graph Theory*, 7 (1985) 445-453.
- [K] Kobayashi, K : Standard spatial graph, *Hokkaido Math. J.* vol. XXI (1) (1992) 117-140.
- [T] Taniyama, K : Cobordism, homotopy and homology of graphs in \mathbb{R}^3 , (preprint).
- [W] White, A.T. : *Graphs, Groups and Surfaces*, North-Holland Math. Studies 8 (1984).
- [Y] Yoshimatsu, Y : Topological symmetry group of standard spatial graph of K_5 , Master Theses (Tokyo Woman's Christian Univ.) (in Japanese).